

УДК 544.3.032.4:547.466

**ВЗАИМОДЕЙСТВИЕ ФУНКЦИОНАЛЬНОЙ ГРУППЫ  
И УГЛЕВОДОРОДНЫХ РАДИКАЛОВ АМИНОКИСЛОТ  
L-АЛАНИНА И ГЛИЦИНА В ВОДНЫХ РАСТВОРАХ NaCl, KCl  
И МОЧЕВИНЫ ПРИ РАЗЛИЧНЫХ ТЕМПЕРАТУРАХ**

**В.П. Королёв<sup>1,2</sup>, О.А. Антонова<sup>1,2</sup>, А.Л. Серебрякова<sup>1,2</sup>**

<sup>1</sup>Институт химии растворов им. Г.А. Крестова, РАН, Иваново, Россия

E-mail:

korolev@isuct.ru

<sup>2</sup>Ивановский государственный химико-технологический университет, Россия

Статья поступила 15 июня 2015 г.

Калориметрическим методом при температурах 288, 298 и 313 К измерены теплоты растворения L- $\alpha$ -аланина в водных растворах NaCl ( $m \leq 5$  моль/кг воды) и KCl ( $m \leq 4$  моль/кг воды). Определены энталпийные и теплоемкостные коэффициенты парного и тройного взаимодействия аланина с неводными компонентами. С привлечением данных литературы найдены вклады заряженных групп NH<sub>3</sub><sup>+</sup>, COO<sup>-</sup> и углеводородных радикалов CH<sub>3</sub>CH<sub>3</sub> L-аланина и CH<sub>2</sub> глицина в смесях воды с NaCl, KCl и мочевиной. Обсуждено влияние природы добавок и температуры на взаимодействия гидрофильных и гидрофобных групп аминокислот в указанных системах.

DOI: 10.15372/JSC20160409

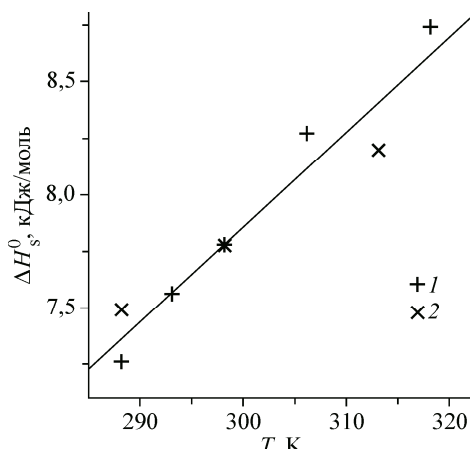
**Ключевые слова:** калориметрия, теплота растворения, коэффициенты парного и тройного взаимодействия, вклады групп, водные растворы, L- $\alpha$ -аланин, хлорид натрия, хлорид калия, мочевина.

Изучение термодинамических свойств водных растворов аминокислот [1—19] создает надежную основу для развития наших представлений о природе гидратации веществ, характере межчастичных взаимодействий, структурных эффектах в биологически важных системах. Следует отметить, что большая часть исследований по указанной проблематике выполнена в смешанных растворителях при стандартной температуре. Между тем изменение двух факторов — температуры и концентрации — представляет несомненный интерес, так как и температура, и многие добавки непосредственным образом (через межчастичные взаимодействия) и весьма эффективно управляют гидратацией и влияют на структуру раствора. При этом добавки могут как усиливать, так и ослаблять действие температуры, например, понижая или повышая температуру денатурации белков.

Предлагаемая статья продолжает изучение влияния температуры на состояние аминокислот в водных растворах неэлектролитов [20—24] и электролитов [25, 26]. Цель работы — на основе теплот растворения исследовать взаимодействия заряженных групп NH<sub>3</sub><sup>+</sup>, COO<sup>-</sup> и углеводородных радикалов CH<sub>3</sub>CH<sub>3</sub> L-аланина и CH<sub>2</sub> глицина в водных растворах NaCl, KCl и мочевины при различных температурах. Отметим, что и мочевина\*, и NaCl разрушают структуру

© Королёв В.П., Антонова О.А., Серебрякова А.Л., 2016

\* В работе [27] мочевина охарактеризована как "солеподобное" вещество (см. также ссылки в [28, с. 125]).



*Рис. 1.* Стандартные теплоты растворения L-аланина в воде по данным работы [10] (1) и настоящего исследования (2).  
 Линия — уравнение (1)

воды (см. [ 14, 16, 17, 19 ] и ссылки в них). Согласно [ 29 ], хлорид калия является более сильным разрушителем структуры, чем хлористый натрий.

L- $\alpha$ -аланин (Fluka, purum;  $\geq 98,0\%$ ) был высушен в вакууме при 348 К в течение 72 ч. NaCl (Fluka, analytical, purum p.a.;  $\geq 99,5\%$ ) и KCl (Merck "GR p.a.",  $\geq 99,5\%$ ) были высушены при 373 К.

Энталпии растворения измеряли с помощью изопериболического калориметра, снабженного 60 см<sup>3</sup> титановым стаканом [30]. Температурная чувствитель-

точность составляла  $4 \cdot 10^{-5}$  К и температурная стабильность термостата была не хуже чем  $10^{-3}$  К. Точность измерений составляла  $\sim 1\%$ . Стандартную энталпию растворения ( $\Delta H_s^0$ ) L-аланина рассчитывали как среднюю величину двух-трех независимых измерений в пределах концентрационного ряда  $m = 0,01—0,05$  моль L- $\alpha$ -аланина/кг водно-электролитного растворителя. Стеклянные ампулы, содержащие растворенное вещество, заполняли в сухом боксе и взвешивали на электронных аналитических весах (ОКБ Веста) с точностью 0,1 мг. Смешанные растворители готовили гравиметрическим методом.

Стандартные теплоты растворения L-аланина в воде, полученные в настоящем исследовании, равны 7,49, 7,77 и 8,19 кДж/моль при 288, 298 и 313 К соответственно. Эти величины объединены с данными [ 10 ], и для всего массива (рис. 1) получено уравнение

$$\Delta H_s^0(W) = 7,79(0,05) + 0,042(0,005)(T - 298,15), \quad R = 0,965, \quad sd = 0,14 \text{ кДж/моль}, \quad (1)$$

где в скобках указаны стандартные отклонения.

Стандартные теплоты растворения L-аланина в водных растворах хлоридов натрия и калия даны в табл. 1. При 298,15 К (рис. 2) наши результаты хорошо согласуются с имеющимися в литературе [8].

### Т а б л и ц а 1

## Энталпии растворения (кДж/моль) L-аланина в водных растворах NaCl и KCl при различных температурах

| 288,15 K              |                | 298,15 K |                | 313,15 K |                | 288,15 K             |                | 298,15 K |                | 313,15 K |                |
|-----------------------|----------------|----------|----------------|----------|----------------|----------------------|----------------|----------|----------------|----------|----------------|
| $m$                   | $\Delta H_s^0$ | $m$      | $\Delta H_s^0$ | $m$      | $\Delta H_s^0$ | $m$                  | $\Delta H_s^0$ | $m$      | $\Delta H_s^0$ | $m$      | $\Delta H_s^0$ |
| H <sub>2</sub> O—NaCl |                |          |                |          |                | H <sub>2</sub> O—KCl |                |          |                |          |                |
| 0,25                  | 7,35           | 0,25     | 7,70           | 0,25     | 8,21           | 0,25                 | 7,34           | 0,25     | 7,68           | 0,25     | 8,19           |
| 0,51                  | 7,20           | 0,50     | 7,64           | 0,50     | 8,26           | 0,51                 | 7,22           | 0,50     | 7,61           | 0,50     | 8,21           |
| 1,01                  | 7,04           | 1,01     | 7,55           | 1,01     | 8,35           | 1,01                 | 7,02           | 1,00     | 7,49           | 1,00     | 8,24           |
| 1,52                  | 6,92           | 1,50     | 7,53           | 1,51     | 8,49           | 1,51                 | 6,85           | 1,50     | 7,43           | 1,50     | 8,30           |
| 2,02                  | 6,86           | 2,00     | 7,56           | 2,01     | 8,57           | 2,01                 | 6,78           | 2,02     | 7,40           | 2,01     | 8,38           |
| 2,53                  | 6,87           | 2,51     | 7,65           | 2,51     | 8,83           | 2,51                 | 6,71           | 2,50     | 7,39           | 2,51     | 8,48           |
| 3,01                  | 6,93           | 3,05     | 7,75           | 3,02     | 8,98           | 3,00                 | 6,72           | 3,00     | 7,43           | 3,04     | 8,65           |
| 4,00                  | 7,19           | 4,00     | 8,11           | 4,00     | 9,39           | 3,50                 | 6,83           | 4,00     | 7,55           | 4,03     | 8,91           |
| 4,93                  | 7,93           | 4,93     | 8,63           | 4,88     | 9,83           | 4,05                 | 6,94           |          |                |          |                |

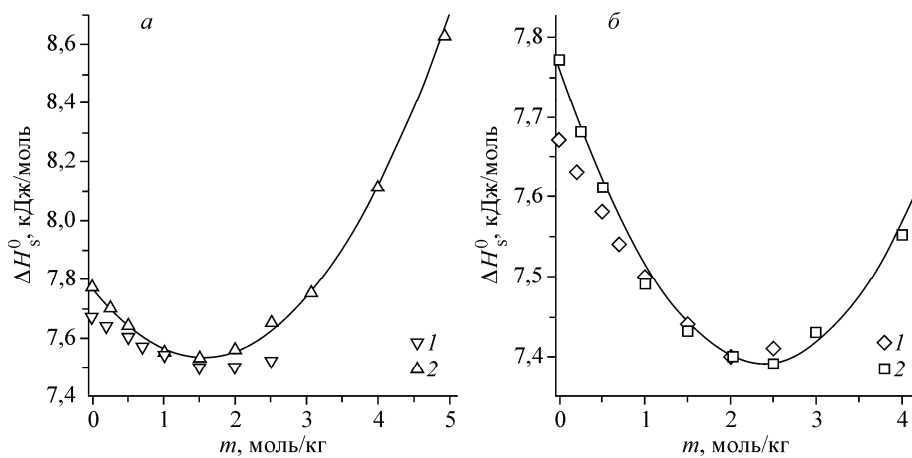


Рис. 2. Энталпии растворения L-аланина в водных растворах NaCl (а) и KCl (б) при 298,15 К по данным работы [8] (1) и настоящего исследования (2)

Согласно [31, 32], для энталпии переноса растворенного вещества из воды в смешанный растворитель можно записать выражение

$$\Delta H_{\text{tr}}^0 = \Delta H_s^0 - \Delta H_s^0(W) = 2h_p m + 3h_t m^2, \quad (2)$$

где  $h_p$  и  $h_t$  — энталпийные коэффициенты парного и тройного взаимодействия соответственно растворенного вещества с неводным компонентом смеси.

Предполагая линейную зависимость энталпийных коэффициентов от температуры, можно записать

$$h(T) = h^{298,15} + c(T - 298,15), \quad (3)$$

где  $h = h_p$  или  $h = h_t$ ;  $c$  — теплоемкостный коэффициент ( $c = c_p$  или  $c = c_t$ ).

Коэффициенты уравнения (3) для L-аланина в водных растворах NaCl и KCl даны в табл. 2, а на рис. 3 экспериментальные данные (символы) сопоставлены с расчетными величинами (линии) при различных температурах. Предстоит выяснить, как влияют гидрофильные и гидрофобные (структурные) эффекты и их изменения с температурой на ход кривых, показанных на рис. 3.

Эта задача решается в рамках аддитивно-групповой схемы. Возможность ее реализации связана с тем, что в литературе есть данные для аминокислоты глицина в водных растворах хлоридов натрия и калия [26]. Эта информация представлена в табл. 2, так же как и данные для L-аланина и глицина в водном растворе мочевины [20, 22, 23].

Важный момент, который возникает при реализации аддитивно-групповой схемы применительно к нашим объектам, состоит в ответе на вопрос, являются ли в одинаковой степени гидрофобными (эквивалентными в плане гидратации) атомы водорода в группе  $\text{CH}_2$  глицина (т.е. основной цепь) и в метильной группе L-аланина (боковая цепь)? В первом случае должно иметь место сильное влияние гидрофильной гидратации заряженных групп  $\text{NH}_3^+$ ,  $\text{COO}^-$ . В литературе на этот счет нет единого мнения [19]. В настоящем исследовании принято, что каждый атом водорода группы  $\text{CH}_2$  глицина эквивалентен 0,5 атома водорода группы  $\text{CH}_3$  L-аланина. Тогда разность характеристик

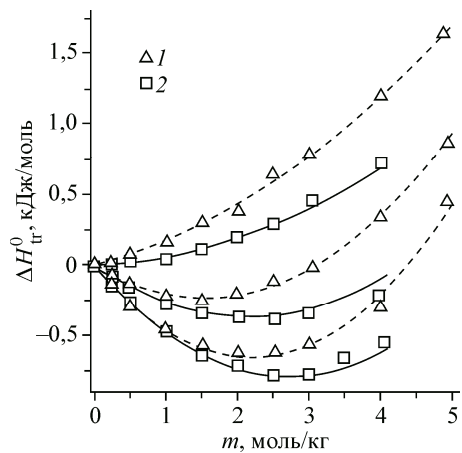


Рис. 3. Энталпии переноса L-аланина из воды в водные растворы NaCl (1) и KCl (2) при температурах (снизу вверх) 288,15, 298,15 и 313,15 К

Т а б л и ц а 2

*Параметры взаимодействий L-аланина, глицина и групп  $\text{NH}_3^+$ ,  $\text{COO}^-$ ,  $\text{CHCH}_3$  и  $\text{CH}_2$  с неводными компонентами смешанных растворителей\**

| Параметр                             | $h_p^{298}$ | $T_p^0, \text{К}$ | $h_t^{298}$ | $T_t^0, \text{К}$ | $c_p$     | $c_t$       |
|--------------------------------------|-------------|-------------------|-------------|-------------------|-----------|-------------|
| $\text{H}_2\text{O}-\text{NaCl}$     |             |                   |             |                   |           |             |
| L-Аланин                             | -152(3)     | 309               | 32,8(0,6)   | 324               | 14,6(0,2) | -1,26(0,06) |
| Глицин [ 26 ]                        | -497(20)    | 322               | 39,7(1,0)   | 323               | 21,0(1,9) | -1,63(0,09) |
| $\text{NH}_3^+, \text{COO}^-$        | -635        | 320               | 42,5        | 322               | 23,6      | -1,78       |
| $\text{CHCH}_3$                      | 483         | 352               | -9,7        | 317               | -9,0      | 0,52        |
| $\text{CH}_2$                        | 138         | 352               | -2,8        | 317               | -2,6      | 0,15        |
| $\text{H}_2\text{O}-\text{KCl}$      |             |                   |             |                   |           |             |
| L-Аланин                             | -170(5)     | 312               | 26,2(2,4)   | 327               | 12,0(0,5) | -0,91(0,23) |
| Глицин [ 26 ]                        | -486(20)    | 324               | 32,0(0,7)   | 322               | 18,5(1,9) | -1,37(0,06) |
| $\text{NH}_3^+, \text{COO}^-$        | -612        | 327               | 34,3        | 320               | 21,1      | -1,55       |
| $\text{CHCH}_3$                      | 442         | 347               | -8,1        | 311               | -9,1      | 0,64        |
| $\text{CH}_2$                        | 126         | 347               | -2,3        | 311               | -2,6      | 0,18        |
| $\text{H}_2\text{O}-\text{мочевина}$ |             |                   |             |                   |           |             |
| L-Аланин [ 22, 23 ]                  | -301(13)    | —                 | 16,1(1,7)   | —                 | 0         | 0           |
| Глицин [ 20, 23 ]                    | -349(15)    | 347               | 9,4(0,9)    | 328               | 7,1       | -0,31       |
| $\text{NH}_3^+, \text{COO}^-$        | -368        | 335               | 6,7         | 314               | 9,9       | -0,43       |
| $\text{CHCH}_3$                      | 67          | 305               | 9,4         | 276               | -9,9      | 0,43        |
| $\text{CH}_2$                        | 19          | 305               | 2,7         | 276               | -2,8      | 0,12        |

\* Единицы измерения:  $h_p$ , Дж·кг/моль<sup>2</sup>;  $h_t$ , Дж·кг<sup>2</sup>/моль<sup>3</sup>;  $c_p$ , Дж·кг/(моль<sup>2</sup>·К);  $c_t$ , Дж·кг<sup>2</sup>/(моль<sup>3</sup>·К).

L-аланина и глицина соответствует 2,5 (эквивалентных) атома водорода. Исходя из принятого допущения, определены вклады групп, которыми дополнена табл. 2.

Мы также предлагаем к обсуждению новый параметр — характеристическую (структурную) температуру  $T^0$ . Это такая температура, при которой величина  $h(T)$  в уравнении (3) равна нулю. Таким образом  $T^0$  находим из равенства

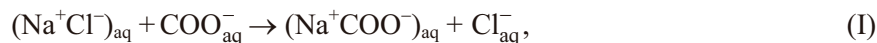
$$h^{298} + c(T^0 - 298) = 0. \quad (4)$$

Поскольку у нас есть два энталпийных коэффициента  $h_p$  и  $h_t$ , то им соответствуют и две характеристические температуры  $T_p^0$  и  $T_t^0$ . При  $T = T^0$  коэффициент взаимодействия меняет знак.

Характеристические температуры аминокислот и их групп также приведены в табл. 2. Обращает на себя внимание равенство или близкие значения всех параметров в табл. 2 в случае водных растворов двух солей. Сказанное относится и к аминокислотам в целом, и к группам аминокислот.

Четверть века назад было обнаружено [ 33 ], что  $h_p^{298}$  глицина в растворах солей щелочных металлов не зависит от природы катиона (кроме  $\text{Li}^+$ ). По мнению автора [ 33 ] катионы взаимодействуют с фрагментом  $\text{COO}^-$  глицина настолько сильно (экзотермически), что дегидратация катиона не влияет на энталпийный коэффициент парного взаимодействия глицина—соль. Однако на это можно возразить, что отличия в теплотах гидратации ионов не настолько малы, чтобы дегидратация не влияла на теплоту взаимодействия. Видимо, правильнее говорить о том, что, например, ион  $\text{Na}^+$  сильнее взаимодействует с  $\text{COO}^-$ , чем  $\text{K}^+$ , но этот более экзотермиче-

ский эффект компенсируется большей эндотермичностью дегидратации иона  $\text{Na}^+$ . Можно также записать простые схемы замещения для фрагмента  $\text{COO}^-$



Понятно, что разность эффектов для процессов (I) и (II) может быть любого знака, а также равной нулю.

Для неполярных групп аминокислот  $h_p^{298} > 0$ . Эти величины имеют близкие значения в случае водно-солевых растворов. Основным эффектом для неполярных групп, видимо, является ослабление их гидрофобной гидратации вследствие разрушения структуры воды под действием добавок.

По многим параметрам растворы аминокислот (и вклады групп) в смешанном растворителе вода—мочевина отличаются от солевых систем. Но парное взаимодействие глицина с мочевиной всего на 30 % слабее\*, чем глицин—соль. В случае L-аланина ситуация обратная. Температура  $\Theta$ , при которой  $h_p^\Theta(\text{H}_2\text{O} + \text{NaCl}) = h_p^{298}(\text{H}_2\text{O} + \text{мочевина})$  равна: 288 К (L-аланин), 305 К (глицин), 309 К ( $\text{NH}_3^+, \text{COO}^-$ ) и 344 К ( $\text{CH}_3\text{CH}_3$ ). "Игра" групп  $\text{NH}_3^+$ ,  $\text{COO}^-$  и  $\text{CH}_3\text{CH}_3$  приводит к тому, что для выполнения указанного равенства солевую систему, содержащую L-аланин, нужно охладить на 10 К ниже стандартной температуры, а солевую систему, содержащую глицин, нужно на 7 К нагреть.

Величина  $h_p^{298}$  группы  $\text{NH}_3^+$ ,  $\text{COO}^-$  в водном растворе мочевины составляет примерно 60 % от аналогичной характеристики в солевых системах. Для  $\text{CH}_3\text{CH}_3$  при таком переходе имеем только 15 %. Характеристическая температура  $T_p^0$  для гидрофобной группы в водном растворе мочевины заметно ниже. Для тройного взаимодействия с мочевиной, в котором участвует неполярная группа,  $T_t^0$  даже намного меньше стандартной температуры.

Как соотносятся теплоты парного и тройного взаимодействия? В случае 6т раствора мочевины вклад от тройного взаимодействия 1 кДж/моль уже превышает вклад от парного взаимодействия  $\text{CH}_3\text{CH}_3$  с мочевиной (0,8 кДж/моль).

Проведем два сопоставления для систем, содержащих мочевину. Для  $\text{NH}_3^+$ ,  $\text{COO}^-$  в водном растворе мочевины  $h_p^{298} = -368 \text{ Дж}\cdot\text{кг}/\text{моль}^2$ ,  $h_t^{298} = -6,7 \text{ Дж}\cdot\text{кг}^2/\text{моль}^3$ . Из данных работы [13] для  $\text{NaCl}$  в водном растворе мочевины следует  $h_p^{298} = -428 \pm 18 \text{ Дж}\cdot\text{кг}/\text{моль}^2$ ,  $h_t^{298} = 13 \pm 1 \text{ Дж}\cdot\text{кг}^2/\text{моль}^3$ . Мы видим, что коэффициенты парного взаимодействия различаются не сильно, что указывает на важность учета эффекта дегидратации компонентов.

В работе [35] нами изучены теплоемкостные характеристики спиртов в смешанном растворителе вода—мочевина. Стандартная теплоемкость переноса группы  $\text{CH}_3$  и  $\text{OH}$  метанола и  $\text{CH}_3$  и  $\text{NH}_3^+$ ,  $\text{COO}^-$  L-аланина из воды в 3т и 6т растворы мочевины дана в табл. 3. В случае спирта расчет проводили по уравнению (12) из работы [35]. Это уравнение было получено для метанола и этанола. Принимаем, что  $\text{CH}_3$  эквивалентна  $3/2 \text{ CH}_2$ . Для групп ами-

Т а б л и ц а 3  
Стандартные теплоемкости переноса  
и сольватации групп метанола и L-аланина  
в водных растворах мочевины  
при 298,15 К (Дж/(моль·К))

| Группа                        | 3т      | 6т      |
|-------------------------------|---------|---------|
| $\text{CH}_3$                 | -40(48) | -57(31) |
| $\text{OH}$                   | 13(-17) | 19(-11) |
| $\text{CH}_3$                 | -41(47) | -62(26) |
| $\text{NH}_3^+, \text{COO}^-$ | 48      | 72      |

П р и м е ч а н и е. Стандартная теплоемкость сольватации указана в скобках. Стандартная теплоемкость гидратации групп [36] равна 88 ( $\text{CH}_3$ ) и -30 ( $\text{OH}$ ).

\* В работе [20] мы допустили неточность, утверждая, что глицин "не отличает" мочевину от  $\text{NaCl}$ . Отметим также, что, согласно [34], мочевина преимущественно взаимодействует с фрагментом  $\text{COO}^-$  аминокислот.

кислоты расчет проводили по уравнению (5), которое следует из (2) и (3)

$$\Delta C_{\text{tr}}^0 = 2c_p m + 3c_t m^2, \quad (5)$$

где  $c_p(\text{CH}_3) = -8,5 \text{ Дж}\cdot\text{кг}/(\text{моль}^2\cdot\text{К})$ ,  $c_t(\text{CH}_3) = 0,37 \text{ Дж}\cdot\text{кг}^2/(\text{моль}^3\cdot\text{К})$ .

Из табл. 3 видно, что имеет место хорошее согласие величин теплоемкости переноса метильной группы двух веществ. Зная стандартную теплоемкость гидратации (см. примечание к табл. 3), получаем важную характеристику — стандартную теплоемкость сольватации групп в водном растворе мочевины (данные в скобках)\*.

В заключение статьи объясним в рамках аддитивно-группового подхода ход кривых  $\Delta H_{\text{tr}}^0(m)$  на рис. 3. В этом нам помогает рис. 4, на котором показаны вклады групп в теплоты переноса L-аланина в водно-солевые системы, а также (для полноты картины) в смешанный растворитель вода—мочевина.

Что касается солевых систем, то становится ясно, что при более низкой температуре экзотермичность переноса L-аланина на рис. 3 обусловлена вкладом функциональной группы (рис. 4, *a*). При более высокой температуре уже наблюдается эндоэффект переноса, обусловленный вкладом углеводородного радикала (см. рис. 4, *b*). Это важный результат. Обратим внимание, что речь идет о сумме эффектов, так как сам вклад от группы  $\text{CH}_3$  становится *менее экзотермичным* при повышении температуры.

Принципиальный интерес представляет поведение групп L-аланина в системе вода—мочевина. При 308 К функциональная группа аминокислоты "не отличает" мочевину от солей. В этом плане можно говорить о некоем "солеподобном" поведении мочевины. Иное дело — поведение мочевины в растворе по отношению к гидрофобной группе  $\text{CH}_3$ , которое определенно отличает мочевину от солей. В случае раствора мочевины перенос неполярной группы значительно менее экзотермичен\*\*. Более того, при 308 К этот процесс (в области малых и средних концентраций мочевины) вообще не сопровождается каким-либо тепловым эффектом. Очевидно, что при  $T > 308 \text{ K}$  перенос  $\text{CH}_3$  будет экзотермичным. В этом случае предразрушенная температурой структура воды уже будет стабилизирована добавками мочевины, и гидрофобная гидратация неполярной группы будет усиливаться. Видимо, в случае растворов

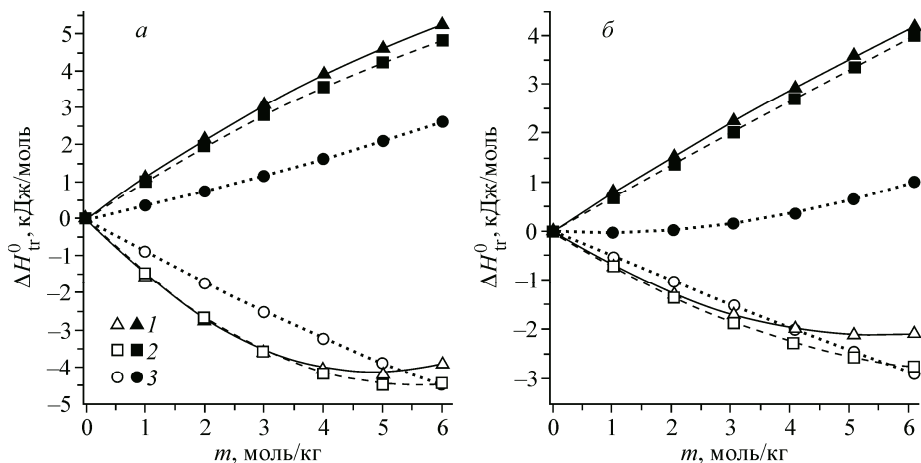


Рис. 4. Энтальпии переноса групп  $\text{CH}_3$  (темные символы) и  $\text{NH}_3^+$ ,  $\text{COO}^-$  (светлые символы) из воды в водные растворы  $\text{NaCl}$  (1),  $\text{KCl}$  (2) и мочевины (3) при 288,15 K (*a*) и 308,15 K (*b*)

\* Соотношение  $\partial\Delta S/\partial T = \Delta C/T$ , где  $S$  — энтропия, позволяет по знаку  $\Delta C$  сделать вывод о том, как наиболее важная в структурном плане термодинамическая характеристика  $\Delta S$  изменяется с температурой.

\*\* Таким образом настоящее исследование подтверждает вывод [26] о том, что (в сходных условиях) мочевина является более слабым разрушителем структуры воды, чем  $\text{NaCl}$  или  $\text{KCl}$ .

солей аналогичные эффекты также могут иметь место только при значительно более высокой температуре.

Работа частично поддержана Российским фондом фундаментальных исследований (проект № 12-03-97508-р\_центр\_a).

#### СПИСОК ЛИТЕРАТУРЫ

1. *Spink C.H., Auker M.* // J. Phys. Chem. 1970. – **74**, N 8. – P. 1742 – 1747.
2. *Spink C.H., Wadsö I.* // J. Chem. Thermodyn. – 1975. – **7**. – P. 561 – 572.
3. *Mishra A.K., Ahluwalia J.C.* // J. Chem. Soc., Faraday Trans. I. – 1981. – **77**. – P. 1469 – 1483.
4. *Abu-Hamdiyyah M., Shehabuddin A.* // J. Chem. Eng. Data. – 1982. – **27**. – P. 74 – 76.
5. *Lilley T.H., Tasker I.R.* // J. Chem. Soc. Faraday Trans. I. – 1982. – **78**. – P. 1 – 6.
6. *Lu Yan, Xie Wei, Lu Jinsuo.* // Thermochim. Acta. – 1994. – **246**. – P. 49 – 55.
7. *Yan Lu, Tongchun Bai, Wei Xie, Jinsuo Lu* // Thermochim. Acta. – 1998. – **319**. – P. 11 – 15.
8. *Palecz B.* // Fluid Phase Equil. – 2000. – **167**. – P. 253 – 261.
9. *Xu Wang, Li Xu, Ruisen Lin, Dezhi Sun* // Thermochim. Acta. – 2005. – **425**. – P. 31 – 37.
10. Королев В.П., Батов Д.В., Смирнова Н.Л. и др. // Изв. РАН. Сер. хим. – 2007. – **4**. – С. 711 – 714.
11. *Li Yu, Shuxia Li, Yan Zhu et al.* // Thermochim. Acta. – 2009. – **490**. – P. 27 – 31.
12. Королёв В.П. // Журн. структур. химии. – 2010. – **51**, № 3. – С. 509 – 517.
13. Королёв В.П. // Журн. структур. химии. – 2011. – **52**, № 1. – С. 101 – 109.
14. Королёв В.П. // Журн. структур. химии. – 2012. – **53**, № 1. – С. 176 – 180.
15. Королёв В.П. // Журн. структур. химии. – 2012. – **53**, № 2. – С. 324 – 329.
16. Королёв В.П. // Журн. структур. химии. – 2012. – **53**, № 6. – С. 1119 – 1124.
17. Королёв В.П., Серебрякова А.Л. // Журн. структур. химии. – 2013. – **54**, № 1. – С. 95 – 98.
18. Королёв В.П. // Журн. структур. химии. – 2013. – **54**, № 2. – С. 384 – 388.
19. Королёв В.П. // Журн. структур. химии. – 2013. – **54**, № 3. – С. 482 – 487.
20. Королёв В.П., Батов Д.В., Смирнова Н.Л., Кустов А.В. // Журн. структур. химии. – 2007. – **48**, № 4. – С. 717 – 723.
21. Королёв В.П., Бекенева А.В., Кустов А.В. // Журн. общей химии. – 2008. – **78**. – С. 106 – 110.
22. Королёв В.П., Батов Д.В., Кустов А.В. // Биофизика. – 2010. – **55**. – С. 207 – 212.
23. Korolev V.P., Antonova O.A., Smirnova N.L. // J. Therm. Anal. Calorim. – 2012. – **108**. – P. 1 – 7.
24. Королёв В.П., Антонова О.А., Смирнова Н.Л. // Журн. структур. химии. – 2014. – **55**, № 2. – С. 376 – 381.
25. Korolev V.P., Antonova O.A. // J. Therm. Anal. Calorim. – 2014. – **115**. – P. 955 – 960.
26. Королёв В.П., Антонова О.А., Серебрякова А.Л. // Журн. структур. химии. – 2015. – **56**, № 4. – С. 715 – 720.
27. Торяник А.И., Топалова Б.М. // Журн. структур. химии. – 1985. – **26**, № 5. – С. 191 – 193.
28. Иванов Е.В., Абросимов В.К. Современное состояние исследований структурных и объемных свойств мочевины и ее водных растворов. В: Биологически активные вещества в растворах. Структура, термодинамика, реакционная способность ("Проблемы химии растворов") / Отв. ред. акад. А.М. Кутепов. – М.: Наука, 2001.
29. Marcus Y. // J. Sol. Chem. – 1994. – **23**. – P. 831 – 848.
30. Кустов А.В., Емельянов А.А., Сыщенко А.Ф. и др. // Журн. физ. химии. – 2006. – **80**. – С. 1724 – 1728.
31. McMillan W.G., Mayer J.E. // J. Chem. Phys. – 1945. – **13**. – P. 276 – 305.
32. Desnoyers J.E., Perron G., Avédikian L., Morel J.P. // J. Sol. Chem. – 1976. – **5**. – P. 631 – 644.
33. Palecz B. // Thermochim. Acta. – 1991. – **180**. – P. 199 – 202.
34. Kresheck G.C., Benjamin L. // J. Phys. Chem. – 1964. – **68**. – P. 2476 – 2486.
35. Королёв В.П. // Журн. структур. химии. – 2007. – **48**, № 4. – С. 724 – 730.
36. Королёв В.П. // Журн. структур. химии. – 2006. – **47**, № 6. – С. 1094 – 1101.